

佐賀大学 理工学部 正員 ○鬼塚克忠  
 ナ ナ ナ 吉武茂樹

1. はじめに 圧密試験を行い、沈下量を求めるようとする地盤の土は必ずしも細粒土(粘土、シルト)とは限らない。一般には、図-1の例のようにかなり粗粒土(砂、レキ)を含んでいる場合が多い。圧密特性は細粒土・粗粒土の混合の比率や各々の物理的特性値によってかなり異なるものと考えられる。著者らは細粒土、粘土として有明粘土と市販のカスリンを用い、これらに粗粒土の豊浦砂を加えた混合土の圧密特性について報告した。<sup>1)</sup> 今回は、上記の粘土に石粉(炭酸カルシウム)を加え、圧密特性を調べた。本報告は、これらを合わせ、混合土の圧密降伏応力、圧縮指数、膨張指数、二次圧密係数、体積圧縮係数、圧密係数、透水係数などについて述べる。

2. 試料と試験方法 粘土として有明粘土と市販のカスリン、砂として豊浦砂、石粉を用いた。表-1に示すように、カスリンは有明粘土に較べ粒径はかなり小さいが、活性土は有明粘土の約10分の1である。石粉は粒度的にはシルトに属するが、物理的・力学的には砂である。両者の粒径加積曲線は相似的である。石粉を砂として扱う。

粘土の有明粘土、カスリンに豊浦砂、石粉を全乾燥重量の0, 20, 40, 60, 80, 100%になるように加えた。粘土2種類、砂2種類で計4種類の組合せである。有明粘土は自然含水比の湿润試料、カスリンは液性限界以上の含水状態の試料に砂を混合した。これらの試料を高さ5cmのカバーを取付けた直徑6cm、高さ2cmの圧密リングの中に少く詰め、0.1, 0.2, 0.4, 0.8 kN/cm<sup>2</sup>の圧

密荷重を各階段1日間加えた。最終段階の沈下量が安定した後、上部カバーを取り除き試料の上部を切取って供試体とした。この  $P_0 = 0.8 \text{ kN/cm}^2$  の圧密先行応力を受けて供試体について標準圧密試験を実施した。

3.  $e - \log P$  曲線 3.1 圧密降伏応力 図-2は、有明粘土、カスリンに豊浦砂を加えた混合土の  $e - \log P$  曲線である。砂の混合率が多くなるにつれて全体がフラットになり、明確な変曲点が見られなくなる。三笠の方法で求めた圧密降伏応力

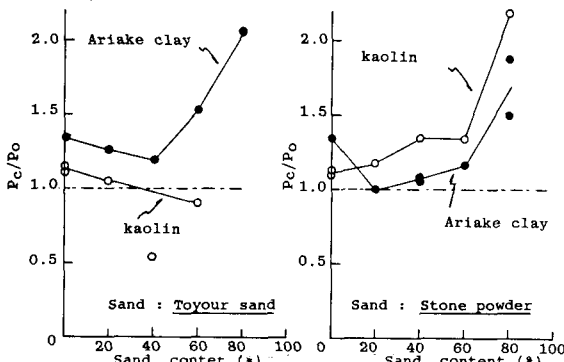


図-3. 圧密降伏応力・圧密先行応力比と砂混合率

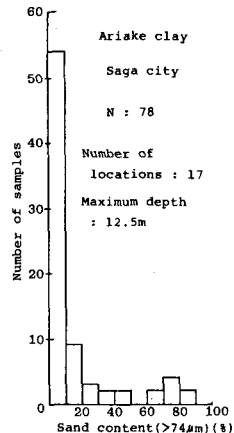
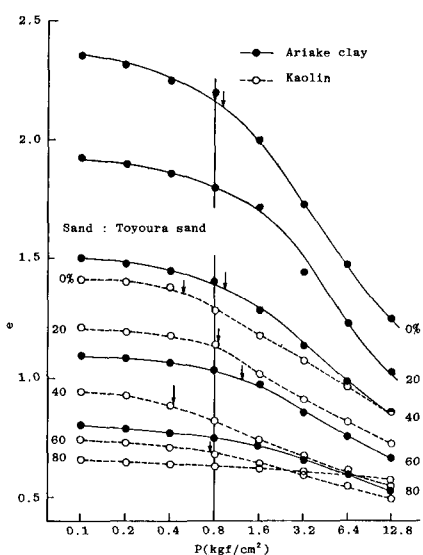


図-1. 有明粘土の砂含有量

Sample	$G_s$	Distribution		$w_L$ (%)	$w_P$ (%)	$I_p$ (%)	$A_c$	$U_c$
		Sand	Silt					
Ariake clay	2.61	11	57	32	136	50	86	5.1
Kaolin	2.71	0	24	76	61	35	26	0.5
Toyoura sand	2.64	100	0	0	—	—	—	1.4
Stone powder	2.65	0	99	1	—	—	—	2.0

表-1 試料の性質

図-2. 混合土の  $e - \log P$  曲線

$P_c$ と圧密先行応力  $P_0$  ( $= 0.8 \text{ kg/cm}^2$ ) の比を砂の混合率に対してプロットしたのが図-3である。 $P_c$ と  $P_0$  の間にはかなりの差がある。特に砂の混合率が 60% を越えると  $P_c$  は大きく求まり、正確な値は得られにくい。作図法による圧密降伏応力算定の適用限界は砂の混合率 60% と言える。

3.2 圧縮指數と膨張指數  $e - \log_{10} P$  曲線の傾きを示す圧縮指數  $C_c$  は砂の混合率が増えると直線的に減少する。カオリンの  $C_c$  は有明粘土の約半分である。砂が豊浦砂、石粉である、混合土の  $C_c$  の値は変わらない。これらの  $C_c$  を塑性指數  $I_p$  に対してプロットすると、図-4 のように  $I_p$  の減少とともに小さくなる。およそ 1 本の直線で表せる。 $C_c = 0.10 + 0.80 \left( \frac{I_p}{100} \right)$

次に圧縮指數と圧密先行応力 ( $P_0 = 0.80 \text{ kg/cm}^2$ ) と等しい圧密荷重時の間隙比に対して整理すると、試料の違いにかかわらず図-5 のように 1 本の直線に乗る。 $C_c = 0.49 (e_{P_0} - 0.41)$ 。著者らは別に丸さない有明粘土の  $C_c$  と自然間隙比  $e_n$  の関係を数多いデータより統計的に求めているが、上式と完全に一致している。 $e_s - \log_{10} P$  曲線は土の種類に關係なく、圧密先行応力をどのときの間隙比で決まると言える。

$e - \log_{10} P$  曲線の除荷曲線の傾き  $C_s$  は砂の混合率の増加とともに小さくなる。混合土の種類にかかわらず  $C_s$  は  $C_c$  の 10 分の 1 である。 $C_s = 0.10 \cdot C_c$ 。これららの膨張指數  $C_s$  と塑性指數の関係を示すと、図-6 のように  $C_s = 0.01 + 0.08 \left( \frac{I_p}{100} \right)$  となる。

4. 圧密量と時間 砂の混合率が 60% を越えると、載荷後僅か数秒で一次圧密が終了する。それ故、砂の混合率が 60% 以上の混合土について、Terzaghi の圧密理論を適用することはできない。次に各試料の各荷重段階における圧密沈下量  $d$  と  $\log_{10} t$  のデータより二次圧密係数  $C_a$  を求めた。 $C_a = \frac{\Delta e}{\Delta \log t} = \frac{1}{h_0} (1+e_0) \frac{\Delta d}{\Delta \log t}$  で定義される。正規圧密の平均値を採ると図-7 のように、有明粘土で  $C_a = 0 \sim 0.08$ 、カオリンで  $C_a = 0 \sim 0.005$  の値を有し、粒径は大きいが活性度の高い有明粘土の方がカオリンよりもオーダー大きい。

5. 体積圧縮係数 両粘土とも砂の混合率が多くなると体積圧縮係数は小さくなる。有明粘土で 80%，カオリンで 60% の混合率を越えると、その圧縮特性は砂自体のそれと類似してくる。图-8 と平均間隙比との関係で  $M_r$  の値は混合土中の砂が豊浦砂、石粉の違いに關係なく同一である。

6. 圧密係数、透水係数 砂の混合率 0 ~ 60% の混合土について、圧密法で  $C_v'$ 、 $K$  を求めた。有明粘土の混合土で  $C_v' = 2 \times 10^4 \sim 5 \times 10^2 (\text{cm}^3/\text{d})$ 、カオリンの場合  $C_v' = 2 \times 10^2 \sim 2 \times 10^3 (\text{cm}^3/\text{d})$  と 10 ~ 40 倍大きい。透水係数もカオリンの方が 5 ~ 7 倍大きい。これららは活性度の違いによる。圧密係数、透水係数ともに砂が豊浦砂、石粉であればその違いの影響は受けない。

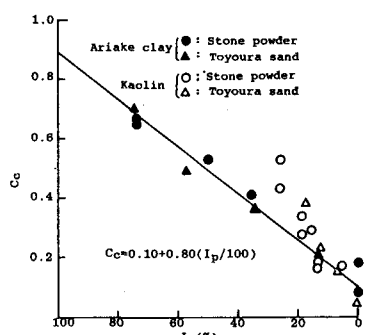


図-4. 圧縮指數と塑性指數の關係

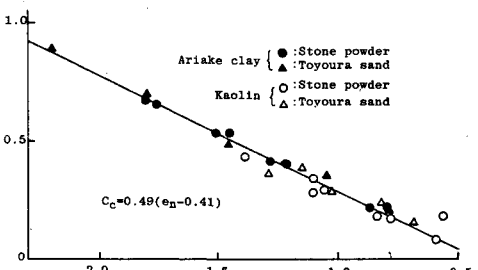


図-5. 圧縮指數と圧密先行応力時の間隙比

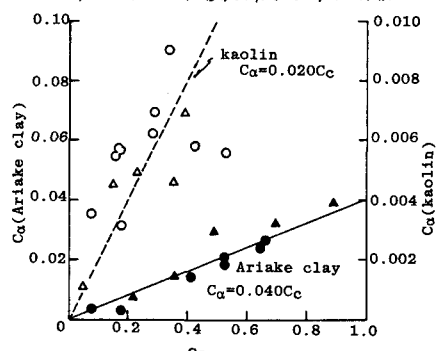


図-7. 二次圧密係数と圧縮指數

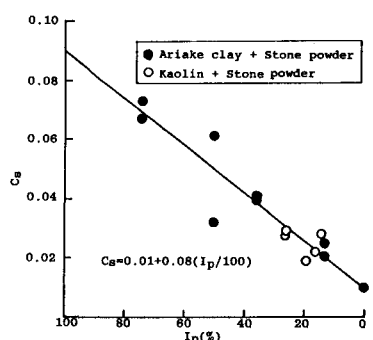


図-6. 膨張指數と塑性指數の關係

参考文献 1) 鬼塚・吉武：砂粘土混合土の圧縮特性、昭和52年度西部支部研究発表会講演集、1977, PP93~94. 2) 鬼塚・吉武：有明粘土の圧縮指數と物理的性質の相関、土と基礎、Vol. 33, No. 4, 1985, PP67~69. 3) 中瀬・中島他：混合土の圧密特性、第13回土質工学研究発表会、1978, PP. 213~216.